

Simulaciones de centelladores PET con LITRANI

Adriana Martín de Aguilera Moreno

Trabajo Académicamente Dirigido por José Manuel Udías
Moinelo y Samuel España Palomares

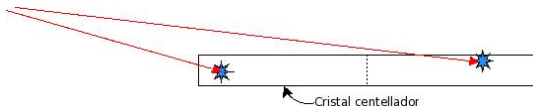
Grupo de Física Nuclear
Universidad Complutense de Madrid

26 de septiembre de 2008



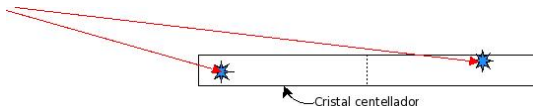
Qué problema queremos resolver

- Queremos incrementar la precisión a la hora de situar la aniquilación del par electrón-positrón a partir de la información de los fotomultiplicadores.
- Hay muchas formas de determinar el cristal al que ha llegado el fotón.
- Saber si el fotón que detectamos ha llegado a la parte delantera o a la trasera del cristal nos ayudaría a calcular con más precisión la trayectoria y el origen de cada fotón.



Qué problema queremos resolver

- Queremos incrementar la precisión a la hora de situar la aniquilación del par electrón-positrón a partir de la información de los fotomultiplicadores.
- Hay muchas formas de determinar el cristal al que ha llegado el fotón.
- Saber si el fotón que detectamos ha llegado a la parte delantera o a la trasera del cristal nos ayudaría a calcular con más precisión la trayectoria y el origen de cada fotón.



Idea

Los fotones que, aún habiéndose originado uno cerca del otro pero no en el mismo lugar, pueden llegar regiones distintas del mismo cristal. Saber si el fotón que detectamos ha llegado a la parte delantera o a la trasera del cristal nos ayudaría a calcular con más precisión la trayectoria y el origen de cada fotón.

Qué vamos a hacer

Muchas matrices para detectores de PET, como la de la figura 1.8, constan de dos bloques de cristales centelladores unidos mediante un gel o una grasa óptica, además del recubrimiento reflector que los separa. Nos interesa estudiar este sistema para saber si el fototubo apreciará alguna diferencia en la cantidad de fotones vistos si generamos fotones en el primer o el segundo cristal.



Idea

Los fotones que, aún habiéndose originado uno cerca del otro pero no en el mismo lugar, pueden llegar regiones distintas del mismo cristal. Saber si el fotón que detectamos ha llegado a la parte delantera o a la trasera del cristal nos ayudaría a calcular con más precisión la trayectoria y el origen de cada fotón.

Qué vamos a hacer

Muchas matrices para detectores de PET, como la de la figura 1.8, constan de dos bloques de cristales centelladores unidos mediante un gel o una grasa óptica, además del recubrimiento reflector que los separa. Nos interesa estudiar este sistema para saber si el fototubo apreciará alguna diferencia en la cantidad de fotones vistos si generamos fotones en el primer o el segundo cristal.



Elementos que componen LITRANI

- **LITRANI (TwoPad):** haciendo uso de las librerías y elementos que ahora describiremos, permite crear el montaje que deseamos simular.
- **SplineFit:** módulo de interpolación de datos cuyo fin es, empleando datos dados por el usuario, realizar interpolaciones para su uso en otra simulación de TwoPad. Suele ser muy importante para introducir índices de refracción de materiales, permeabilidades o secciones eficaces en montajes con fuentes de luz no monocromáticas.
- **VisuLitrani:** encargado de mostrar histogramas y resultados producto de las simulaciones. El número y carácter de dichos resultados puede modificarse al escribir el programa.



Elementos que componen LITRANI

- **LITRANI (TwoPad):** haciendo uso de las librerías y elementos que ahora describiremos, permite crear el montaje que deseamos simular.
- **SplineFit:** módulo de interpolación de datos cuyo fin es, empleando datos dados por el usuario, realizar interpolaciones para su uso en otra simulación de TwoPad. Suele ser muy importante para introducir índices de refracción de materiales, permeabilidades o secciones eficaces en montajes con fuentes de luz no monocromáticas.
- **VisuLitrani:** encargado de mostrar histogramas y resultados producto de las simulaciones. El número y carácter de dichos resultados puede modificarse al escribir el programa.



Formas que podemos utilizar

- TSBRIK: caja de caras perpendiculares entre sí.
- TSTRD1: caja trapezoidal con la dimensión x variable a lo largo de z.
- TSTRD2: caja trapezoidal con las dimensiones x e y variando a lo largo de z.
- TSPARA: paralelepípedo.
- TSTRAP: trapezoide general.
- TS8PTS: volumen general que se determina mediante sus ocho vértices.
- TSCONE: cono.
- TSCYL: cilindro.
- TSTUBE: tubo con hueco para introducir un cilindro en su interior.



Fuentes de luz disponibles

- Espontánea: emite fotones desde cualquier punto de un volumen o una superficie.
- Fibra óptica: los fotones proceden de una fibra óptica en el interior del volumen.
- Haz de partículas: genera haces de, por ejemplo, muones, capaces de producir luz Cherenkov en el interior del material.
- Gammas: fotones de entre 0,1 y 1 MeV, teniendo en cuenta el efecto Compton y el efecto fotoeléctrico en el interior del material.
- Cascadas electromagnéticas.



Detectores disponibles

- Detectores de superficie.
- Detectores de volumen.
- Phototubos.
- APD's.
- Diodos PIN.

Recubrimientos

Es posible añadir recubrimientos, es decir, simular la presencia de materiales metálicos adheridos a las caras de los volúmenes. La simulación de recubrimientos es uno de los puntos más dinámicos de LITRANI, puesto que pueden simularse distintas bandas de material sobre una cara o zonas recubiertas con formas geométricas como círculos de metal. Además, es posible añadir caras erosionadas a las superficies.



Detectores disponibles

- Detectores de superficie.
- Detectores de volumen.
- Phototubos.
- APD's.
- Diodos PIN.

Recubrimientos

Es posible añadir recubrimientos, es decir, simular la presencia de materiales metálicos adheridos a las caras de los volúmenes. La simulación de recubrimientos es uno de los puntos más dinámicos de LITRANI, puesto que pueden simularse distintas bandas de material sobre una cara o zonas recubiertas con formas geométricas como círculos de metal. Además, es posible añadir caras erosionadas a las superficies.



Cómo escribir un programa en LITRANI

Inicio del programa

En primer lugar, cargamos LITRANI y especificamos el título y características del programa. También necesitamos llamar a ROOT y establecer algunas de las características de la generación de números aleatorios.

Código

```
void ejemplo1a(void)
{
  char *name      = "EJEMPLO 1a. Un cristal de 1cm^3 de LSO recubierto
de material totalmente reflector";
  char *listing  = "La cara ultima del cristal es un fotocatodo ";
  char *upcom    = "La fuente es puntual, isotropica y espontanea, y la
situado dentro del cristal ";

  char *downcom  = "¿Cuántos fotones detecto?";
  gROOT->ProcessLine(".x InitLitrani.C(8,name,listing,upcom,downcom,kTRUE,kFALSE
,kTRUE)");
}
```



Cómo escribir un programa en LITRANI

Inicio del programa

En primer lugar, cargamos LITRANI y especificamos el título y características del programa. También necesitamos llamar a ROOT y establecer algunas de las características de la generación de números aleatorios.

Código

```
void ejemplo1a(void)
{
  char *name      = "EJEMPLO 1a. Un cristal de 1cm^3 de LSO recubierto
de material totalmente reflector";
  char *listing  = "La cara ultima del cristal es un fotocatodo ";
  char *upcom    = "La fuente es puntual, isotropica y espontanea, y la
situado dentro del cristal ";

  char *downcom  = "¿Cuántos fotones detecto?";
  gROOT->ProcessLine(".x InitLitrani.C(8,name,listing,upcom,downcom,kTRUE,kFALSE
,kTRUE)");
}
```



Geometría

Definimos las semilongitudes de cada uno de los cuerpos.

Código

```
const Double_t semilongitud_en_x = 0.5;  
const Double_t semilongitud_en_y = 0.5;  
const Double_t semilongitud_en_z = 0.5;
```

Definición de los materiales

- 1 Nombre.
- 2 Título.
- 3 Sensibilidad: kTRUE si es detector y kFALSE si no lo es.
- 4 Permeabilidad magnética.

Código

```
TOpticMaterial *LSO;  
LSO = new TOpticMaterial("LSO", "Titulito, ¡es LSO!", kFALSE, 1.0, 21);  
LSO->IsIsotropic(1.82);
```



Geometría

Definimos las semilongitudes de cada uno de los cuerpos.

Código

```
const Double_t semilongitud_en_x = 0.5;  
const Double_t semilongitud_en_y = 0.5;  
const Double_t semilongitud_en_z = 0.5;
```

Definición de los materiales

- 1 Nombre.
- 2 Título.
- 3 Sensibilidad: kTRUE si es detector y kFALSE si no lo es.
- 4 Permeabilidad magnética.

Código

```
TOpticMaterial *LSO;  
LSO = new TOpticMaterial("LSO", "Titulito, ¡es LSO!", kFALSE, 1.0, 21);  
LSO->IsIsotropic(1.82);
```



Geometría

Definimos las semilongitudes de cada uno de los cuerpos.

Código

```
const Double_t semilongitud_en_x = 0.5;  
const Double_t semilongitud_en_y = 0.5;  
const Double_t semilongitud_en_z = 0.5;
```

Definición de los materiales

- 1 Nombre.
- 2 Título.
- 3 Sensibilidad: kTRUE si es detector y kFALSE si no lo es.
- 4 Permeabilidad magnética.

Código

```
TOpticMaterial *LSO;  
LSO = new TOpticMaterial("LSO", "Titulito, ¡es LSO!", kFALSE, 1.0, 21);  
LSO->IsIsotropic(1.82);
```



Geometría

Definimos las semilongitudes de cada uno de los cuerpos.

Código

```
const Double_t semilongitud_en_x = 0.5;  
const Double_t semilongitud_en_y = 0.5;  
const Double_t semilongitud_en_z = 0.5;
```

Definición de los materiales

- 1 Nombre.
- 2 Título.
- 3 Sensibilidad: kTRUE si es detector y kFALSE si no lo es.
- 4 Permeabilidad magnética.

Código

```
TOpticMaterial *LSO;  
LSO = new TOpticMaterial("LSO", "Titulito, ¡es LSO!", kFALSE, 1.0, 21);  
LSO->IsIsotropic(1.82);
```



Definición de los recubrimientos

- 1 Nombre.
- 2 Título.
- 3 Declaramos si hay una capa fina de algún material entre el cristal y el recubrimiento.
- 4 Proporción de fotones que se difunden en vez de reflejarse.
- 5 Parte real del índice de refracción.
- 6 Parte imaginaria del índice de refracción.
- 7 Permeabilidad magnética.
- 8 Absorción extra.
- 9 Ángulo máximo de difusión de los fotones.

Código

```
TRevetment *reflectortotal;  
reflectortotal = new TRevetment("reflectortotal", "Recubrimiento reflector total",  
"none", 0.00, 0.0, -1.0, 1.0, 0.0, 90.0);
```



Definición de los recubrimientos

- 1 Nombre.
- 2 Título.
- 3 Declaramos si hay una capa fina de algún material entre el cristal y el recubrimiento.
- 4 Proporción de fotones que se difunden en vez de reflejarse.
- 5 Parte real del índice de refracción.
- 6 Parte imaginaria del índice de refracción.
- 7 Permeabilidad magnética.
- 8 Absorción extra.
- 9 Ángulo máximo de difusión de los fotones.

Código

```
TRevetment *reflectortotal;  
reflectortotal = new TRevetment("reflectortotal","Recubrimiento reflector total",  
"none",0.00, 0.0,-1.0,1.0,0.0,90.0);
```



Definiendo las formas

- 1 Nombre.
- 2 Título.
- 3 Material.
- 4 Revestimiento.
- 5 Semilongitudes de los lados (x, y, z).

Código

```
TSBRIK *prisma;  
prisma = new TSBRIK("prisma","Cristal de LSO","LSO","reflectortotal",  
semilongitud_en_x,semilongitud_en_y,semilongitud_en_z);
```



Definiendo las formas

- 1 Nombre.
- 2 Título.
- 3 Material.
- 4 Revestimiento.
- 5 Semilongitudes de los lados (x, y, z).

Código

```
TSBRIK *prisma;  
prisma = new TSBRIK("prisma","Cristal de LSO","LSO","reflectortotal",  
semilongitud_en_x,semilongitud_en_y,semilongitud_en_z);
```



Asignar propiedades a caras concretas

Muchas veces necesitamos declarar las propiedades de alguna cara en particular como, por ejemplo, rugosidades (`SetDepolished()`), biselados (`SetBevellings()`) o si actúa como detector, pudiendo definir detectores de superficie y fototubos (estos últimos solamente para formas cilíndricas).

- 1 Nombre.
- 2 Título.
- 3 Número de la cara que queremos establecer como detector.
- 4 Eficiencia cuántica: si es total basta con poner "none".

Código

```
prisma->fSuppl->SetSurfDet("detector","Detector de superficie",1,"none");
```



Asignar propiedades a caras concretas

Muchas veces necesitamos declarar las propiedades de alguna cara en particular como, por ejemplo, rugosidades (`SetDepolished()`), biselados (`SetBevellings()`) o si actúa como detector, pudiendo definir detectores de superficie y fototubos (estos últimos solamente para formas cilíndricas).

- 1 Nombre.
- 2 Título.
- 3 Número de la cara que queremos establecer como detector.
- 4 Eficiencia cuántica: si es total basta con poner "none".

Código

```
prisma->fSuppl->SetSurfDet("detector","Detector de superficie",1,"none");
```



Organización de los elementos del montaje

En este caso hemos definido `prisma1` como centro del montaje, en torno al cual colocaremos los demás cuerpos. Los datos que debemos introducir en este caso son:

- 1 Nombre.
- 2 Título.
- 3 Nombre del volumen que vayamos a colocar.
- 4 Distancia entre el centro del cuerpo en cuestión y el cuerpo que hemos definido como origen del montaje.

Código

```
TSNode *nodo1;  
nodo1 = new TSNode("nodo1","Nodo asociado al cristal 1",prisma1);  
nodo1->cd();  
  
TSNode *nodo2;  
nodo2 = new TSNode("nodo2","Nodo asociado al cristal 2",prisma2,0.5,0.0,0.0 );
```



Organización de los elementos del montaje

En este caso hemos definido `prisma1` como centro del montaje, en torno al cual colocaremos los demás cuerpos. Los datos que debemos introducir en este caso son:

- 1 Nombre.
- 2 Título.
- 3 Nombre del volumen que vayamos a colocar.
- 4 Distancia entre el centro del cuerpo en cuestión y el cuerpo que hemos definido como origen del montaje.

Código

```
TSNode *nodo1;  
nodo1 = new TSNode("nodo1","Nodo asociado al cristal 1",prisma1);  
nodo1->cd();  
  
TSNode *nodo2;  
nodo2 = new TSNode("nodo2","Nodo asociado al cristal 2",prisma2,0.5,0.0,0.0 );
```



Contacto entre los volúmenes

El penúltimo argumento indica qué tipo de contacto es. El último parámetro nos dice si existe una capa fina de material entre las caras. Es importante tener en cuenta que:

- 1 ThinSlice no utiliza las ecuaciones de Fresnel.
- 2 Es mejor, si tenemos 3 elementos en contacto, poner como nodo de referencia el elemento central.
- 3 Al poner las caras rugosas, si hay recubrimiento, hay que añadir una capa fina de aire.
- 4 Al poner los cristales en contacto el revestimiento se elimina en las caras en contacto.

Código

```
TContact *contacto;  
contacto = new TContact("entre_cristales", "Contacto entre cristales",  
"prisma1", "prisma2", identical, "none");
```



Contacto entre los volúmenes

El penúltimo argumento indica qué tipo de contacto es. El último parámetro nos dice si existe una capa fina de material entre las caras. Es importante tener en cuenta que:

- 1 ThinSlice no utiliza las ecuaciones de Fresnel.
- 2 Es mejor, si tenemos 3 elementos en contacto, poner como nodo de referencia el elemento central.
- 3 Al poner las caras rugosas, si hay recubrimiento, hay que añadir una capa fina de aire.
- 4 Al poner los cristales en contacto el revestimiento se elimina en las caras en contacto.

Código

```
TContact *contacto;  
contacto = new TContact("entre_cristales","Contacto entre cristales",  
"prisma1", "prisma2",identical,"none");
```



Fuentes de luz

Han de introducirse después de establecer todos los nodos. En este caso hemos definido una fuente de luz puntual y espontánea, en el centro del cristal. El tercer argumento está relacionado con el parámetro x usado como abscisa al dibujar los resultados por la clase TPublication. Los argumentos cuarto y quinto están relacionados con si se muestran o no los histogramas y estadísticas de cada paso, i.e., las asociadas al pointer 'gGp'. Las globales sí que se muestran y no están relacionadas con estos argumentos.

Código

```
TSpontan *fuente;
fuente = new TSpontan("fuente","fuente","prisma2",-0.2499,0.0,0.0,600.0);
for (Int_t i=1;i<=100;i++) {
fuente->Gen(i,100,-2.0,true,false);
}
//Generación de 100 fotones en 100 pasos (i.e., de 10000 fotones)
```



Fuentes de luz

Han de introducirse después de establecer todos los nodos. En este caso hemos definido una fuente de luz puntual y espontánea, en el centro del cristal. El tercer argumento está relacionado con el parámetro x usado como abscisa al dibujar los resultados por la clase TPublication. Los argumentos cuarto y quinto están relacionados con si se muestran o no los histogramas y estadísticas de cada paso, i.e., las asociadas al pointer 'gGp'. Las globales sí que se muestran y no están relacionadas con estos argumentos.

Código

```
TSpontan *fuente;  
fuente = new TSpontan("fuente","fuente","prisma2",-0.2499,0.0,0.0,600.0);  
for (Int_t i=1;i<=100;i++) {  
    fuente->Gen(i,100,-2.0,true,false);  
}  
//Generación de 100 fotones en 100 pasos (i.e., de 10000 fotones)
```



Publicación de resultados

Por último, podemos especificar los resultados que queremos ver impresos en la pantalla al finalizar el programa.

Código

```
cout << "fNbPart:      " << gGs->fNpGener    << endl;//Nº total de fotones generados.
cout << "fNpSeen:      " << gGs->fNpSeen    << endl;//Nº de fotones detectados.
cout << "fNpLossAny:    " << gGs->fNpLossAny << endl;//Nº de fotones perdidos por alguna razón.
cout << "fNpAbsMat:     " << gGs->fNpAbsMat  << endl;//Nº de fotones absorbidos en los materiales.
cout << "fNpAbsRvt:     " << gGs->fNpAbsRvt  << endl;//Nº de fotones perdidos en el revestimiento.
cout << "fNpOutSide:    " << gGs->fNpOutSide << endl;//Nº de fotones que abandonan el montaje.
cout << "fNpAbnorm:    " << gGs->fNpAbnorm << endl;//Nº de fotones que son destruidos antes
de generarse.
cout << "fNpLossQE:    " << gGs->fNpLossQE << endl;//Nº de fotones perdidos porque el detector
no es perfecto

    exit();

}
```



Publicación de resultados

Por último, podemos especificar los resultados que queremos ver impresos en la pantalla al finalizar el programa.

Código

```
cout << "fNbPart:      " << gGs->fNpGener    << endl;//No total de fotones generados.
cout << "fNpSeen:      " << gGs->fNpSeen    << endl;//No de fotones detectados.
cout << "fNpLossAny:    " << gGs->fNpLossAny << endl;//No de fotones perdidos por alguna razón.
cout << "fNpAbsMat:     " << gGs->fNpAbsMat  << endl;//No de fotones absorbidos en los materiales.
cout << "fNpAbsRvt:    " << gGs->fNpAbsRvt  << endl;//No de fotones perdidos en el revestimiento.
cout << "fNpOutSide:    " << gGs->fNpOutSide << endl;//No de fotones que abandonan el montaje.
cout << "fNpAbnorm:    " << gGs->fNpAbnorm << endl;//No de fotones que son destruidos antes
de generarse.
cout << "fNpLossQE:    " << gGs->fNpLossQE << endl;//No de fotones perdidos porque el detector
no es perfecto

    exit();

}
```



LITRANI en acción

```
[adri@nuc9 programas]$ q
bash: q: command not found
[adri@nuc9 programas]$ litrani gammas04.C
*****
*
*           W E L C O M E  to  R O O T           *
*
*   Version   5.19/02      11 March 2008      *
*
*   You are welcome to visit our Web site    *
*           http://root.cern.ch              *
*
*****

ROOT 5.19/02 (trunk@22600, Mar 12 2008, 09:24:00 on linuxx8664gcc)

CINT/ROOT C/C++ Interpreter version 5.16.29, Jan 08, 2008
Type ? for help. Commands must be C++ statements.
Enclose multiple statements between { }.
root [0]
Processing gammas04.C...

size      : 5
name      : gammas04
listing   : Paso de fotones gamma por un centellador cilíndrico
upcom     : La última cara es un detector de superficie
downcom   : ¿Qué detecto?
otherseq  : 0
indebug   : 0
WithDate  : 1

Start from Litrani, libLitrani is already loaded
calling TLitGlob
```

```
*****
```



Interpolaciones con SplineFit

Inicio de la interpolación

En primer lugar, llamamos al programa y le asignamos un nombre a la interpolación.

- 1 `todraw`: `kTRUE` si queremos dibujar la interpolación.
- 2 `infile`: `kTRUE` si la interpolación va a crear un archivo `SplineFitDB.rdb`.
- 3 `firstinfile`: `kTRUE` si queremos borrar todas las interpolaciones presentes en el archivo `SplineFitDB.rdb` y sustituirlos por la interpolación presente.

Código

```
TSplineFit* nai_cross_section(Bool_t todraw = kFALSE, Bool_t infile = kFALSE,  
Bool_t firstinfile = kFALSE)
```



Interpolaciones con SplineFit

Inicio de la interpolación

En primer lugar, llamamos al programa y le asignamos un nombre a la interpolación.

- 1 todraw: kTRUE si queremos dibujar la interpolación.
- 2 infile: kTRUE si la interpolación va a crear un archivo SplineFitDB.rdb.
- 3 firstinfile: kTRUE si queremos borrar todas las interpolaciones presentes en el archivo SplineFitDB.rdb y sustuirlos por la interpolación presente.

Código

```
TSplineFit* nai_cross_section(Bool_t todraw = kFALSE, Bool_t infile = kFALSE,  
Bool_t firstinfile = kFALSE)
```



Código: creación de la tabla de datos

```
Int_t k1;
  Int_t k2 = -100;
  k1 = TClassTable::GetID("TSplineFit");
  if (k1<0) k2 = gSystem.Load("libSplineFit");
  const Int_t M = 74;
  Int_t i;
```

Código: introducción de los datos

```
TSplineFit *nai_cross_section;
  Double_t x[M] = { 0.001, 0.001017, 0.001035, 0.001053 };

  Double_t y[M] = { 602625.1, 581738.2, 560851.3, 540738.0, 521398.3 };
  nai_cross_section = new TSplineFit("PhotoEl_nai", "Photo-Electric Cross Section | nai",
  18, M, x, y, 0.001, 1.4);
```

Código: definición de unidades, ejes y comentarios

```
nai_cross_section->SetSource("http://physics.nist.gov/PhysRefData/Xcom/Text/XCOM.html");
nai_cross_section->SetMacro("nai_cross_section.C");
nai_cross_section->SetXLabel("Gamma Energy [MeV]");
nai_cross_section->SetVLabel("Cross Section x10-24 cm2");
return nai_cross_section;
}
```



Código: creación de la tabla de datos

```
Int_t k1;
  Int_t k2 = -100;
  k1 = TClassTable::GetID("TSplineFit");
  if (k1<0) k2 = gSystem.Load("libSplineFit");
  const Int_t M = 74;
  Int_t i;
```

Código: introducción de los datos

```
TSplineFit *nai_cross_section;
  Double_t x[M] = { 0.001, 0.001017, 0.001035, 0.001053 };

  Double_t y[M] = { 602625.1, 581738.2, 560851.3, 540738.0, 521398.3 };
  nai_cross_section = new TSplineFit("PhotoEl_nai", "Photo-Electric Cross Section | nai",
  18, M, x, y, 0.001, 1.4);
```

Código: definición de unidades, ejes y comentarios

```
nai_cross_section->SetSource("http://physics.nist.gov/PhysRefData/Xcom/Text/XCOM.html");
nai_cross_section->SetMacro("nai_cross_section.C");
nai_cross_section->SetXLabel("Gamma Energy [MeV]");
nai_cross_section->SetVLabel("Cross Section x10-24 cm2");
return nai_cross_section;
}
```



Código: creación de la tabla de datos

```
Int_t k1;
  Int_t k2 = -100;
  k1 = TClassTable::GetID("TSplineFit");
  if (k1<0) k2 = gSystem.Load("libSplineFit");
  const Int_t M = 74;
  Int_t i;
```

Código: introducción de los datos

```
TSplineFit *nai_cross_section;
  Double_t x[M] = { 0.001, 0.001017, 0.001035, 0.001053 };

  Double_t y[M] = { 602625.1, 581738.2, 560851.3, 540738.0, 521398.3 };
  nai_cross_section = new TSplineFit("PhotoEl_nai", "Photo-Electric Cross Section | nai",
  18, M, x, y, 0.001, 1.4);
```

Código: definición de unidades, ejes y comentarios

```
nai_cross_section->SetSource("http://physics.nist.gov/PhysRefData/Xcom/Text/XCOM.html");
nai_cross_section->SetMacro("nai_cross_section.C");
nai_cross_section->SetXLabel("Gamma Energy [MeV]");
nai_cross_section->SetVLabel("Cross Section x10-24 cm2");
return nai_cross_section;
}
```



Representación de resultados con VisuLitrani y TwoPadDisplay

Llamar a VisuLitrani

En todo lo que hemos hecho hasta ahora no hemos empleado VisuLitrani, puesto que es posible extraer resultados del programa sin necesidad de ponerlo en marcha. En primer lugar, para que VisuLitrani se ponga en marcha hay que dibujar el montaje desde LITRANI. Para ello debemos añadir algunos comandos adicionales a la hora de definir los nodos.

Código

```
TSNode *node1;  
node1=new TSNode("node1","node1",centellador);  
node1->SetLineColor(1);  
node1->SetLineWidth(2);  
node1->cd();  
\tiny
```



Representación de resultados con VisuLitrani y TwoPadDisplay

Llamar a VisuLitrani

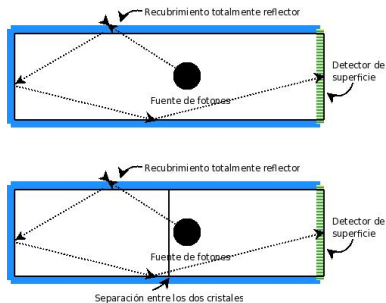
En todo lo que hemos hecho hasta ahora no hemos empleado VisuLitrani, puesto que es posible extraer resultados del programa sin necesidad de ponerlo en marcha. En primer lugar, para que VisuLitrani se ponga en marcha hay que dibujar el montaje desde LITRANI. Para ello debemos añadir algunos comandos adicionales a la hora de definir los nodos.

Código

```
TSNode *node1;  
node1=new TSNode("node1","node1",centellador);  
node1->SetLineColor(1);  
node1->SetLineWidth(2);  
node1->cd();  
\tiny
```



Validación de problemas sencillos con LITRANI



Equivalencia de montajes

- Una fuente de fotones se encuentra en el interior de un cristal recubierto de un material totalmente reflector y con un detector de superficie en una de sus caras.
- Dos cristales cuya longitud es la mitad del anterior pegados perfectamente y en las mismas condiciones.

En principio estos dos montajes tienen que ser completamente equivalentes.

Resultados

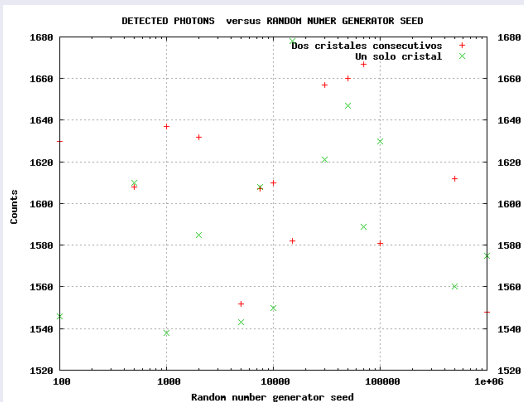
	Un solo cristal	Dos cristales	Fluctuación aproximada
Fotones emitidos	10000	10000	-
Fotones vistos	8376	8396	91
Fotones perdidos en el material	1624	1604	40

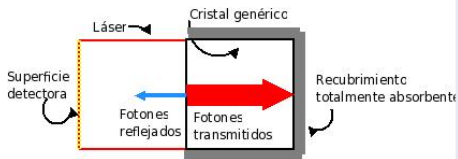
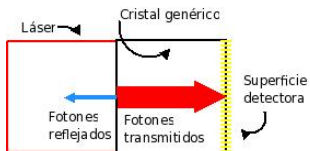


Modificamos la semilla que genera los números aleatorios

```
gROOT->ProcessLine(".x InitLitrani.C(8,name,listing,upcom,downcom,kTRUE,kFALSE,kTRUE)");
gRandom3->SetSeed(seed);
\tiny
```

Resultado de las simulaciones





Reflectancia y transmitancia

En incidencia normal, la reflectancia y la transmitancia son

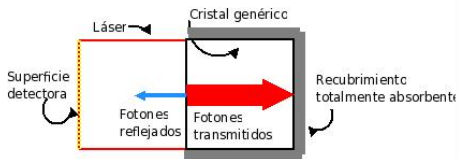
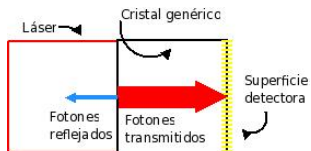
$$R = \left(\frac{n_t - n_i}{n_t + n_i} \right)^2 ; T = \frac{4n_t n_i}{(n_t + n_i)^2}$$

Comparemos los resultados de la simulación en LITRANI con los dados por las fórmulas de Fresnel.

Resultados de la simulación

	LITRANI	Resultado teórico
Fotones emitidos	10000	10000
Fotones transmitidos	9600	9600
Fotones reflejados	400	400





Reflectancia y transmitancia

En incidencia normal, la reflectancia y la transmitancia son

$$R = \left(\frac{n_t - n_i}{n_t + n_i} \right)^2 ; T = \frac{4n_t n_i}{(n_t + n_i)^2}$$

Comparemos los resultados de la simulación en LITRANI con los dados por las fórmulas de Fresnel.

Resultados de la simulación

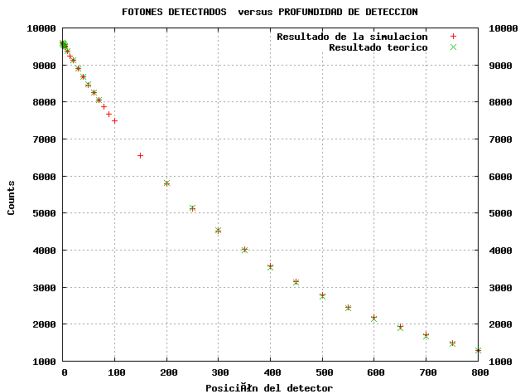
	LITRANI	Resultado teórico
Fotones emitidos	10000	10000
Fotones transmitidos	9600	9600
Fotones reflejados	400	400



Absorción en un dieléctrico isótropo

$L_a = \frac{c}{2\omega n_I} = \frac{\lambda}{4\pi n_I}$, de modo que la intensidad decrecerá a medida que penetre en el material según $I(x) = I_0 e^{-x/L_a}$

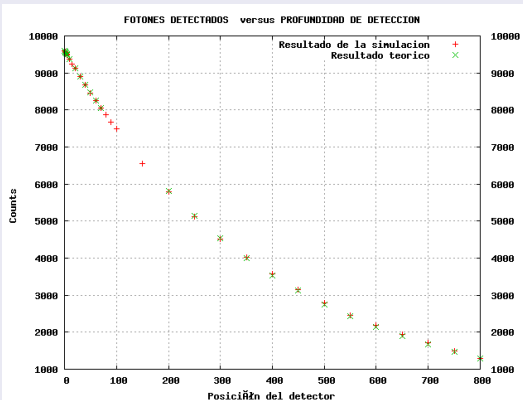
Resultado de la simulación



Absorción en un dieléctrico isótropo

$L_a = \frac{c}{2\omega n_I} = \frac{\lambda}{4\pi n_I}$, de modo que la intensidad decrecerá a medida que penetre en el material según $I(x) = I_0 e^{-x/L_a}$

Resultado de la simulación



Ecuaciones de Fresnel

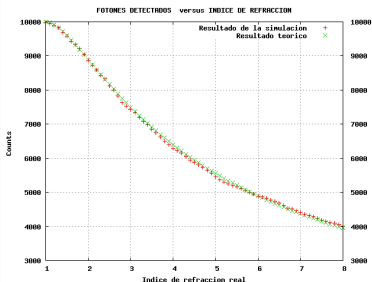
$$r_{\perp} \equiv \left(\frac{E_{0r}}{E_{0i}} \right)_{\perp} = \frac{\frac{n_j}{\mu_j} \cos \theta_i - \frac{n_t}{\mu_t} \cos \theta_t}{\frac{n_j}{\mu_j} \cos \theta_i + \frac{n_t}{\mu_t} \cos \theta_t}$$

$$t_{\perp} \equiv \left(\frac{E_{0t}}{E_{0i}} \right)_{\perp} = \frac{2 \frac{n_j}{\mu_j} \cos \theta_i}{\frac{n_j}{\mu_j} \cos \theta_i + \frac{n_t}{\mu_t} \cos \theta_t}$$

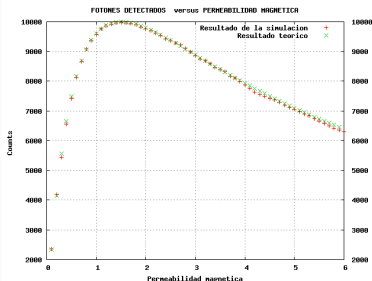
$$r_{\parallel} \equiv \left(\frac{E_{0r}}{E_{0i}} \right)_{\parallel} = \frac{\frac{n_t}{\mu_t} \cos \theta_i - \frac{n_j}{\mu_j} \cos \theta_t}{\frac{n_j}{\mu_j} \cos \theta_t + \frac{n_t}{\mu_t} \cos \theta_i}$$

$$t_{\parallel} \equiv \left(\frac{E_{0t}}{E_{0i}} \right)_{\parallel} = \frac{2 \frac{n_j}{\mu_j} \cos \theta_i}{\frac{n_j}{\mu_j} \cos \theta_t + \frac{n_t}{\mu_t} \cos \theta_i}$$

Variación del índice de refracción



Variación de la permeabilidad magnética



Ecuaciones de Fresnel

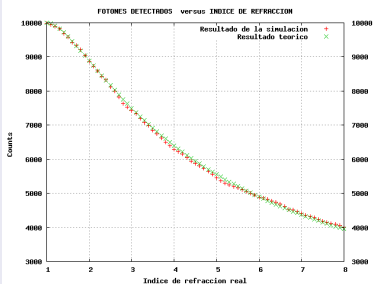
$$r_{\perp} \equiv \left(\frac{E_{0r}}{E_{0i}} \right)_{\perp} = \frac{\frac{n_j}{\mu_j} \cos \theta_j - \frac{n_t}{\mu_t} \cos \theta_t}{\frac{n_j}{\mu_j} \cos \theta_j + \frac{n_t}{\mu_t} \cos \theta_t}$$

$$t_{\perp} \equiv \left(\frac{E_{0t}}{E_{0i}} \right)_{\perp} = \frac{2 \frac{n_j}{\mu_j} \cos \theta_j}{\frac{n_j}{\mu_j} \cos \theta_j + \frac{n_t}{\mu_t} \cos \theta_t}$$

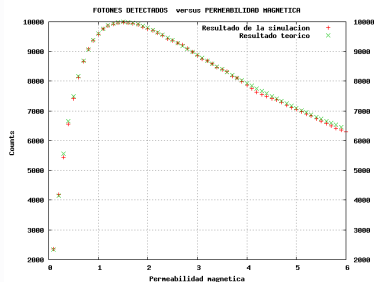
$$r_{\parallel} \equiv \left(\frac{E_{0r}}{E_{0i}} \right)_{\parallel} = \frac{\frac{n_t}{\mu_t} \cos \theta_j - \frac{n_j}{\mu_j} \cos \theta_t}{\frac{n_j}{\mu_j} \cos \theta_t + \frac{n_t}{\mu_t} \cos \theta_j}$$

$$t_{\parallel} \equiv \left(\frac{E_{0t}}{E_{0i}} \right)_{\parallel} = \frac{2 \frac{n_j}{\mu_j} \cos \theta_j}{\frac{n_j}{\mu_j} \cos \theta_t + \frac{n_t}{\mu_t} \cos \theta_j}$$

Variación del índice de refracción



Variación de la permeabilidad magnética



Ecuaciones de Fresnel

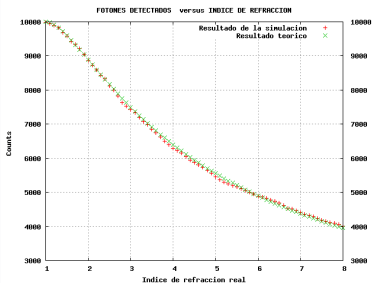
$$r_{\perp} \equiv \left(\frac{E_{0r}}{E_{0i}} \right)_{\perp} = \frac{\frac{n_j}{\mu_j} \cos \theta_j - \frac{n_t}{\mu_t} \cos \theta_t}{\frac{n_j}{\mu_j} \cos \theta_j + \frac{n_t}{\mu_t} \cos \theta_t}$$

$$t_{\perp} \equiv \left(\frac{E_{0t}}{E_{0i}} \right)_{\perp} = \frac{2 \frac{n_j}{\mu_j} \cos \theta_j}{\frac{n_j}{\mu_j} \cos \theta_j + \frac{n_t}{\mu_t} \cos \theta_t}$$

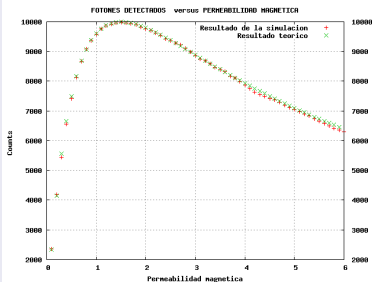
$$r_{\parallel} \equiv \left(\frac{E_{0r}}{E_{0i}} \right)_{\parallel} = \frac{\frac{n_t}{\mu_t} \cos \theta_j - \frac{n_j}{\mu_j} \cos \theta_t}{\frac{n_j}{\mu_j} \cos \theta_t + \frac{n_t}{\mu_t} \cos \theta_j}$$

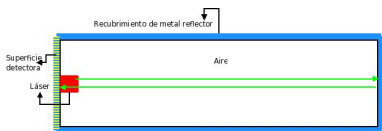
$$t_{\parallel} \equiv \left(\frac{E_{0t}}{E_{0i}} \right)_{\parallel} = \frac{2 \frac{n_j}{\mu_j} \cos \theta_j}{\frac{n_j}{\mu_j} \cos \theta_t + \frac{n_t}{\mu_t} \cos \theta_j}$$

Variación del índice de refracción



Variación de la permeabilidad magnética



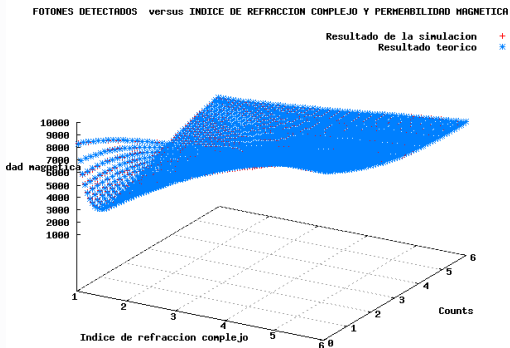


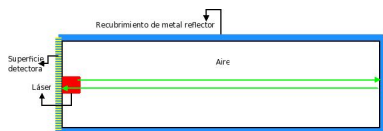
Reflexión en metales

En incidencia normal, la reflectividad de un metal es

$$R = \frac{(n_R - \mu_t)^2 + n_I}{(n_R + \mu_t)^2 + n_I}$$

Resultado de las simulaciones



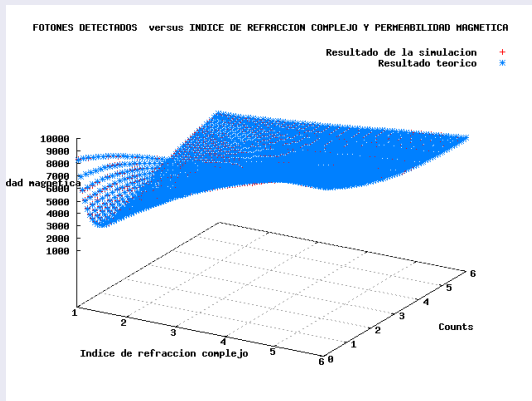


Reflexión en metales

En incidencia normal, la reflectividad de un metal es

$$R = \frac{(n_R - \mu_t)^2 + n_I}{(n_R + \mu_t)^2 + n_I}$$

Resultado de las simulaciones

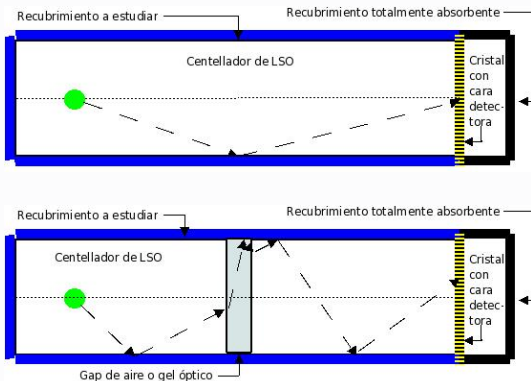


Simulaciones en el interior de centelladores de LSO

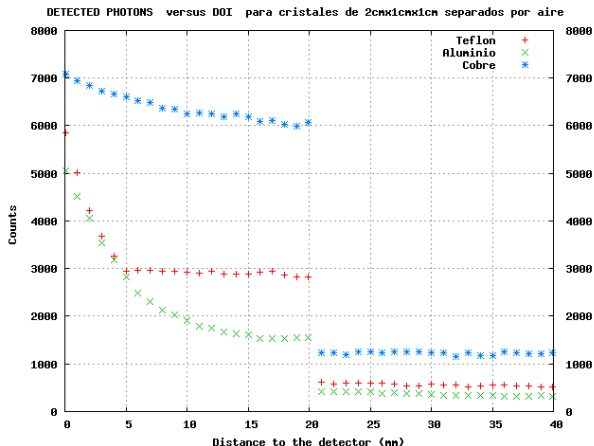
Procedimiento

Disponemos de dos tipos de cristales: unos de $2\text{cm} \times 1\text{cm} \times 1\text{cm}$ y otros de $7\text{mm} \times 1,4\text{mm} \times 1,4\text{mm}$, ambos de LSO. Estudiaremos cómo varía la cantidad de fotones detectados en la última cara en función de la posición a lo largo del eje x de una fuente isótropa de fotones de 600 y 400 nm en función del recubrimiento que rodee al montaje.

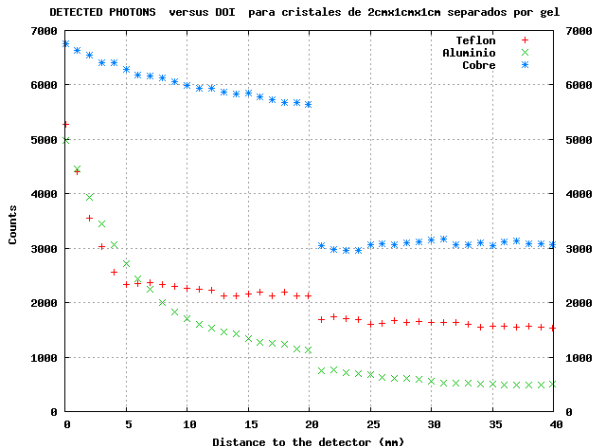
Montajes



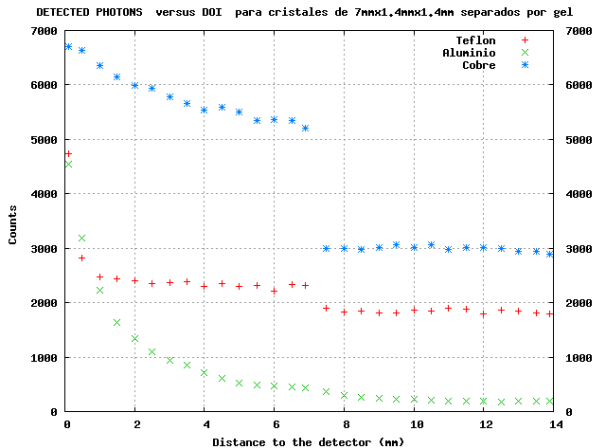
Fotones de 400 nm en cristales de 2cmx1cmx1cm separados por aire



Fotones de 400 nm en cristales de 2cmx1cmx1cm separados por gel



Fotones de 400 nm en cristales de 7mmx1,4mmx1,4mm separados por gel



Simulación de la llegada de fotones gamma a un centellador

- Es posible emplear LITRANI para simular el paso de fotones gamma de entre 0.1 y 1 MeV a través de un material.
- La clase TPhotoElecCompton es la encargada de simular la producción de efecto Compton y efecto fotoeléctrico como consecuencia del paso de los fotones gamma.
- Inconveniente principal: el cálculo sobre el que está basada está resuelto para una simetría cilíndrica.
- Simularemos centelladores de NaI dopado con talio, esto es, NaI(Tl) de forma cilíndrica con una pulgada de altura y diámetro. El recubrimiento que emplearemos será aluminio.
- La finalidad de este apartado es mostrar el funcionamiento de esta clase en LITRANI.



Simulación de la llegada de fotones gamma a un centellador

- Es posible emplear LITRANI para simular el paso de fotones gamma de entre 0.1 y 1 MeV a través de un material.
- La clase TPhotoElecCompton es la encargada de simular la producción de efecto Compton y efecto fotoeléctrico como consecuencia del paso de los fotones gamma.
- Inconveniente principal: el cálculo sobre el que está basada está resuelto para una simetría cilíndrica.
- Simularemos centelladores de NaI dopado con talio, esto es, NaI(Tl) de forma cilíndrica con una pulgada de altura y diámetro. El recubrimiento que emplearemos será aluminio.
- La finalidad de este apartado es mostrar el funcionamiento de esta clase en LITRANI.



Simulación de la llegada de fotones gamma a un centellador

- Es posible emplear LITRANI para simular el paso de fotones gamma de entre 0.1 y 1 MeV a través de un material.
- La clase TPhotoElecCompton es la encargada de simular la producción de efecto Compton y efecto fotoeléctrico como consecuencia del paso de los fotones gamma.
- **Inconveniente principal:** el cálculo sobre el que está basada está resuelto para una simetría cilíndrica.
- Simularemos centelladores de NaI dopado con talio, esto es, NaI(Tl) de forma cilíndrica con una pulgada de altura y diámetro. El recubrimiento que emplearemos será aluminio.
- La finalidad de este apartado es mostrar el funcionamiento de esta clase en LITRANI.



Simulación de la llegada de fotones gamma a un centellador

- Es posible emplear LITRANI para simular el paso de fotones gamma de entre 0.1 y 1 MeV a través de un material.
- La clase TPhotoElecCompton es la encargada de simular la producción de efecto Compton y efecto fotoeléctrico como consecuencia del paso de los fotones gamma.
- Inconveniente principal: el cálculo sobre el que está basada está resuelto para una simetría cilíndrica.
- Simularemos centelladores de NaI dopado con talio, esto es, NaI(Tl) de forma cilíndrica con una pulgada de altura y diámetro. El recubrimiento que emplearemos será aluminio.
- La finalidad de este apartado es mostrar el funcionamiento de esta clase en LITRANI.



Simulación de la llegada de fotones gamma a un centellador

- Es posible emplear LITRANI para simular el paso de fotones gamma de entre 0.1 y 1 MeV a través de un material.
- La clase TPhotoElecCompton es la encargada de simular la producción de efecto Compton y efecto fotoeléctrico como consecuencia del paso de los fotones gamma.
- Inconveniente principal: el cálculo sobre el que está basada está resuelto para una simetría cilíndrica.
- Simularemos centelladores de NaI dopado con talio, esto es, NaI(Tl) de forma cilíndrica con una pulgada de altura y diámetro. El recubrimiento que emplearemos será aluminio.
- La finalidad de este apartado es mostrar el funcionamiento de esta clase en LITRANI.





Resultados

